

### Работа 3.6.1.

Спектральный анализ электрических сигналов.

*Корнеев Е.С.*

# Спектральный анализ электрических сигналов.

**Цель работы:** изучение спектрального состава периодических электрических сигналов.

**Оборудование:** анализатор спектра СК4-56, генератор прямоугольных импульсов Г5-54, генератор сигналов специальной формы Г6-34, осциллограф С1-76.

Многие физические процессы можно моделировать с помощью линейных дифференциальных уравнений. К решениям таких уравнений применим принцип суперпозиции: разнообразные сложные явления удобно представлять в виде суммы простых решений линейных уравнений. Для линейных уравнений такими простыми решениями являются гармонические функции. Математическая теория представления сложных функций в виде сумм гармонических составляющих получила название теории рядов и интегралов Фурье.

В радиотехнике широко используется разложение сложных сигналов на гармонические колебания различных частот  $\omega$ . Функция  $F(\omega)$ , описывающая зависимость амплитуды гармоник от их частоты, называется *амплитудной спектральной характеристикой* - спектром исходного сигнала. Представление сложного периодического сигнала в виде суммы гармонических сигналов в математике называется разложением в ряд Фурье. Непериодические сигналы представляются в виде интеграла Фурье.

Пусть заданная функция  $f(t)$  периодически повторяется с частотой  $\Omega_1 = 2\pi/T$ , где  $T$  - период повторения. Ее разложение в ряд Фурье имеет вид

$$f(t) = \frac{a_0}{2} + \sum_{i=1}^{\infty} [a_n \cos(n\Omega_1 t) + b_n \sin(n\Omega_2 t)] \quad (1)$$

или

$$f(t) = \frac{A_0}{2} + \sum_{i=1}^{\infty} A_n \cos(n\Omega_1 t - \psi_n). \quad (2)$$

где  $a_0/2 = A_0/2$  - среднее значение  $f(t)$ ,  $a_n$  и  $b_n$  - амплитуды членов разложения, определяющиеся по формулам

$$a_n = \frac{2}{T} \int_{t_1}^{t_1+T} f(t) \cos(n\Omega_1 t) dt,$$

$$b_n = \frac{2}{T} \int_{t_1}^{t_1+T} f(t) \sin(n\Omega_1 t) dt,$$

точку  $t_1$  можно выбрать произвольно. При этом между коэффициентами существует следующая связь:

$$A_n = \sqrt{a_n^2 + b_n^2}; \quad \psi_n = \arctan \frac{b_n}{a_n}$$

Таким образом, видно, что сигнал раскладывается в сумму сигналов с частотами  $\Omega_1, 2\Omega_1, 3\Omega_1$ , и т.д. Представляя  $\cos \alpha$  в виде

$$\cos \alpha = \frac{e^{i\alpha} + e^{-i\alpha}}{2}$$

и подставляя в (2):

$$f(t) = \frac{1}{2} \left( A_0 + \sum_{n=1}^{\infty} A_n e^{-i\psi_n} e^{in\Omega_1 t} + \sum_{n=1}^{\infty} A_n e^{i\psi_n} e^{-in\Omega_1 t} \right)$$

Вводя комплексные амплитуды

$$\widetilde{A}_n = A_n e^{-i\psi_n}; \quad \widetilde{A}_{-n} = A_n e^{i\psi_n}; \quad \widetilde{A}_0 = A_0 \quad (3)$$

получим

$$f(t) = \frac{1}{2} \sum_{n=-\infty}^{\infty} \widetilde{A}_n e^{in\Omega_1 t} \quad (4)$$

Видно, что введение отрицательных частот ( $-n\Omega_1$ ) позволяет записать разложение Фурье простым способом. (3) обеспечивают действительность суммы (4): каждой частоте  $k\Omega_1$  соответствует в (2) один член ( $n = k$ ), а в (4) - два ( $n = k$  и  $n = -k$ ). Формулы (3) позволяют переходить от комплексного представления и обратно.

Для расчета комплексных амплитуд умножим левую и правую части (4) на  $e^{-ik\Omega_1 t}$  и проинтегрируем за период, например, от 0 до  $2\pi/\Omega_1$ . В правой части обнулятся все члены, кроме  $n = k$ , дающего  $A_k T/2$ . Поэтому

$$A_k = \frac{2}{T} \int_0^T f(t) e^{-ik\Omega_1 t} dt.$$

Теперь рассмотрим функции, исследуемые в работе.

**Периодическая последовательность прямоугольных сигналов** с амплитудой  $V_0$ , длительностью  $\tau$ , частотой повторения  $f_{\text{повт}} = 1/T$ , где  $T$  - период повторения импульсов.

Найдем среднее значение:

$$\langle V \rangle = \frac{a_0}{2} = \frac{A_0}{2} = \frac{1}{T} \int_{-\tau/2}^{\tau/2} V_0 dt = V_0 \frac{\tau}{T}$$

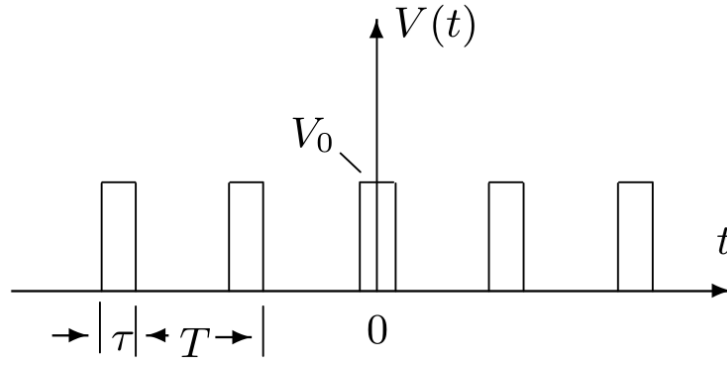


Рис. 1: Периодическая последовательность прямоугольных импульсов

Амплитуды косинусных составляющих будут равны

$$a_n = \frac{2}{T} \int_{-\tau/2}^{\tau/2} V_0 \cos(n\Omega_1 t) dt = 2V_0 \frac{\tau}{T} \frac{\sin(n\Omega_1 \tau/2)}{n\Omega_1 \tau/2} \sim \frac{\sin(x)}{x}$$

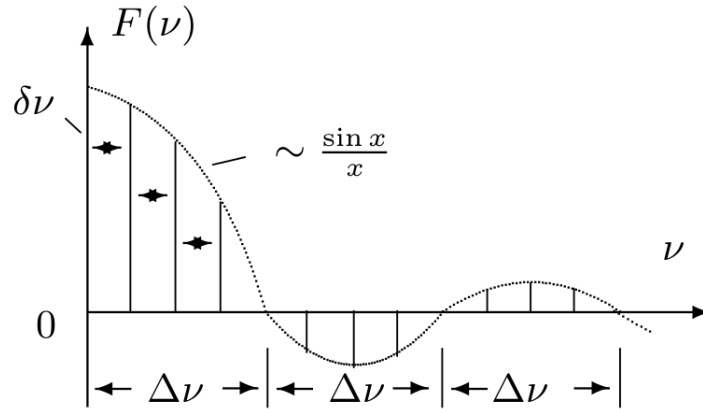


Рис. 2: Спектр периодической последовательности прямоугольных импульсов

Поскольку функция четная, все амплитуды синусоидальных гармоник будут нулевыми. Амплитуды гармоник меняются по закону  $\frac{\sin(x)}{x}$ . На графике изображен случай, когда  $T$  кратно  $\tau$ . Назовем шириной спектра  $\Delta\nu$  расстояние от первого максимума, возникающего от главного максимума до первого нуля, возникающего при  $\Omega_1 = 2\pi/T$ . При этом  $\Delta\omega\tau \approx 2\pi$ , или  $\Delta\nu\Delta t \approx 1$ .

**Периодическая последовательность цугов** гармонического колебания  $V_0 \cos(\omega_0 t)$  с длительностью цуга  $\tau$  и периодом повторения  $T$ .

Функция также симметричная относительно  $t = 0$ . Амплитуда  $n$ -й гармоники определяется выражением

$$A_n = a_n = \frac{2}{T} \int_{-\tau/2}^{\tau/2} V_0 \cos(\omega_0 t) \cdot \cos(n\Omega_1 t) dt =$$

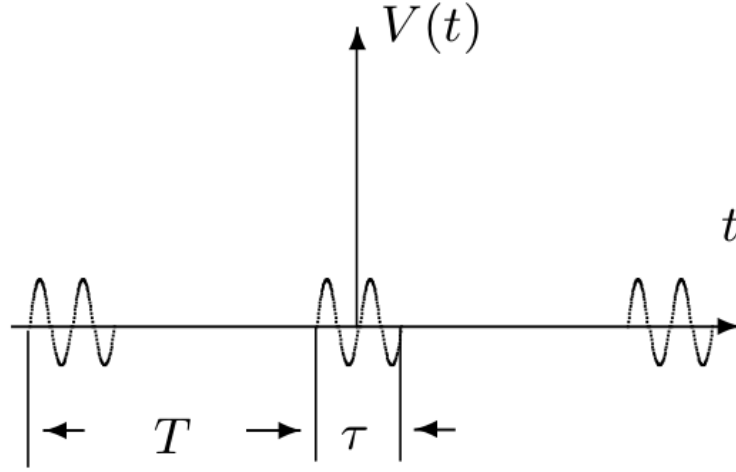


Рис. 3: Периодическая последовательность цугов

$$= V_0 \frac{\tau}{T} \left( \frac{\sin[(\omega_0 - n\Omega_1)\frac{\tau}{2}]}{(\omega_0 - n\Omega_1)\frac{\tau}{2}} + \frac{\sin[(\omega_0 + n\Omega_1)\frac{\tau}{2}]}{(\omega_0 + n\Omega_1)\frac{\tau}{2}} \right)$$

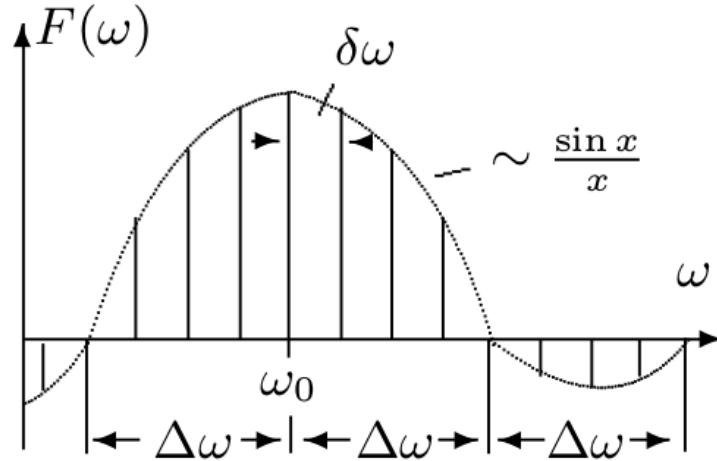


Рис. 4: Спектр периодической последовательности цугов

Такое спектральное распределение  $F(\omega)$  для случая, когда  $T$  кратно  $\tau$ , представлено на рис. 5. Сравнивая этот график с аналогичным для прямоугольных импульсов, видим, что они аналогичны, но максимумы сдвинуты на почастоте на  $\omega_0$ .

**Амплитудно-модулированные сигналы.** Рассмотрим гармонические колебания частоты  $\omega_0$ , амплитуда которых медленно меняется по гармоническому закону с частотой  $\Omega$  ( $\Omega \ll \omega_0$ ):

$$f(t) = A_0[1 + m \cos(\Omega t)] \cos(\omega t) \quad (5)$$

Коэффициент  $m$  называется глубиной модуляции. При  $m < 1$  амплитуда ко-

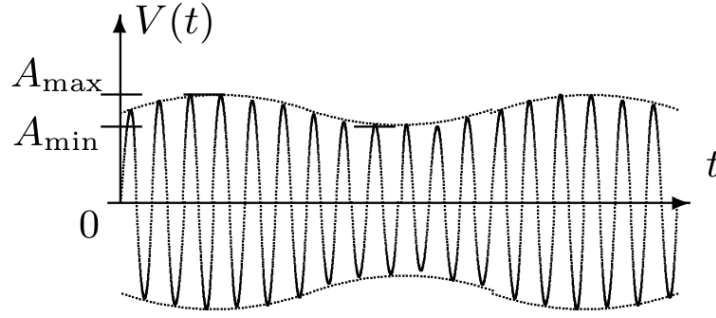


Рис. 5: Гармонические колебания, модулированные по амплитуде

лебаний меняется от минимальной  $A_{min} = A_0(1 - m)$  до максимальной  $A_{max} = A_0(1 + m)$ . Глубина модуляции может быть представлена в виде

$$m = \frac{A_{max} - A_{min}}{A_{max} + A_{min}}$$

Преобразовывая уравнение (5), получим спектр:

$$\begin{aligned} f(t) &= A_0 \cos(\omega_0 t) + A_0 m \cos(\Omega t) \cos(\omega_0 t) = \\ &= A_0 \cos(\omega_0 t) + \frac{A_0 m}{2} \cos(\omega + \Omega)t + \frac{A_0 m}{2} \cos(\omega - \Omega)t \end{aligned}$$

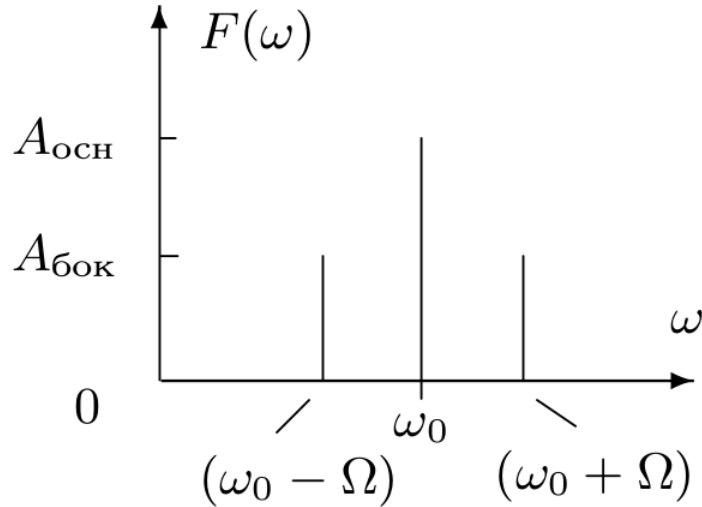


Рис. 6: Спектр гармонических колебания, модулированных по амплитуде

Спектр  $F(\omega)$  таких колебаний содержит три составляющих. Основная компонента представляет собой исходное немодулированное колебание с несущей частотой  $\omega_0$  и амплитудой  $A_{осн} = A_0$  - первое слагаемое в правой части последнего уравнения. Боковые компоненты спектра соответствуют гармоническим колебаниям с частотами  $(\omega_0 + \Omega)$  и  $(\omega_0 - \Omega)$  - второе и третье слагаемые. Амплитуды этих колебаний одинаковы и составляют  $m/2$  от амплитуды немодулированного сигнала:  $A_{бок} = A_0 m/2$ .

## А. Исследование спектра периодической последовательности прямоугольных импульсов

### Экспериментальная установка.

Схема для исследования спектра периодической последовательности прямоугольных импульсов представлена на рис. 7. Сигнал с выхода генератора прямоугольных импульсов Г5-54 подаётся на вход анализатора спектра и одновременно - на вход У осциллографа. С генератора импульсов на осциллограф подаётся также сигнал синхронизации, запускающий ждущую развёртку осциллографа. При этом на экране осциллографа можно наблюдать саму последовательность прямоугольных импульсов, а на экране ЭЛТ анализатора спектра - распределение амплитуд спектральных составляющих этой последовательности.

В наблюдаемом спектре отсутствует информация об амплитуде нулевой гармоники, т. е. о величине постоянной составляющей; её местоположение (начало отсчёта шкалы частот) отмечено небольшим вертикальным выбросом.

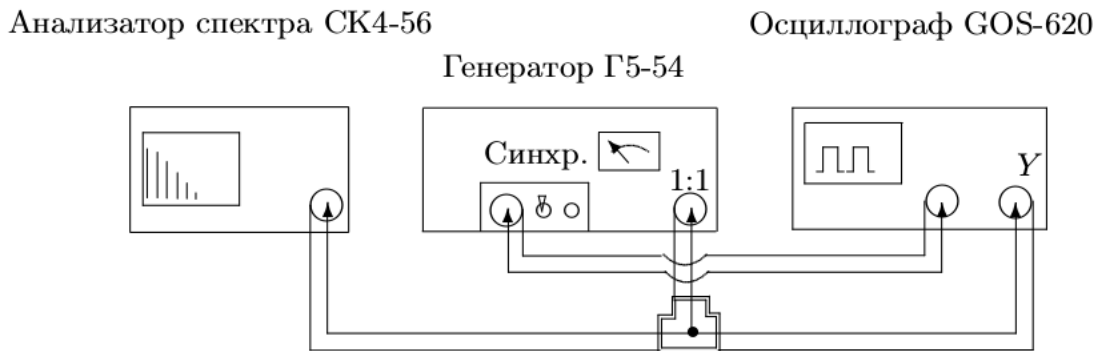


Рис. 7: Схема для исследования периодической последовательности прямоугольных импульсов

### Ход работы:

1. Получим на экране спектр импульсов с параметрами  $f_{\text{повт}} = 10^3$  Гц;  $\tau = 25$  мкс. Первый ноль амплитуды наблюдается при  $\nu = 10$  кГц. При увеличении  $\tau$  вдвое мы наблюдаем уменьшение нуля амплитуды до 5 кГц, при увеличении  $f_{\text{повт}}$  вдвое ноль не меняется, зато возрастает амплитуда сигнала.

2. Снимем зависимость ширины спектра  $\Delta\nu$  от длительности импульса  $\tau$ :

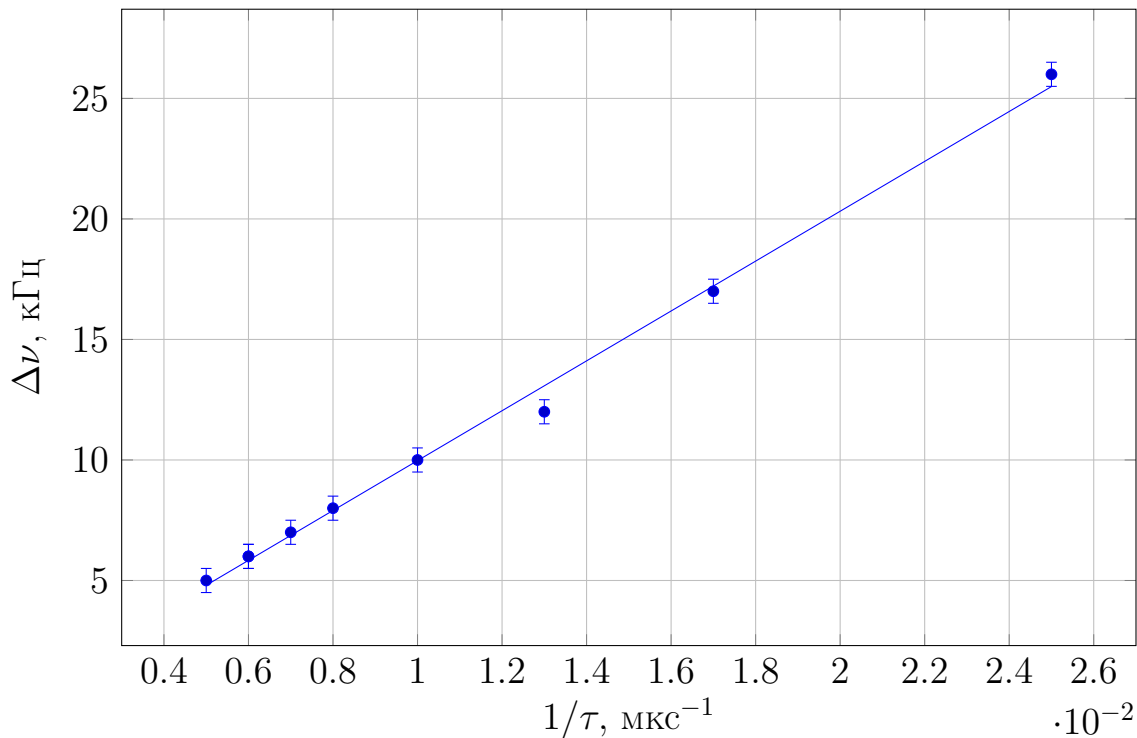
$\tau$ , мкс	$\Delta\nu$ , кГц	$1/\tau$ , мкс <sup>-1</sup>
40.0	26.0	0,025
60.0	17.0	0,017
80.0	12.0	0,013
100.0	10.0	0,010
120.0	8.0	0,008
140.0	7.0	0,007
160.0	6.0	0,006
180.0	6.0	0,006
200.0	5.0	0,005

В данном случае примем погрешность  $\sigma_\tau$  равной 0.1 мкс, так как мы имеем возможность выставить  $\tau$  на генераторе с точностью до десятых. Соответственно, погрешность  $1/\tau$  будет пренебрежимо мала, т.к., вычисленная по формуле

$$\sigma_{1/\tau} = \frac{1}{\tau} \cdot \varepsilon_\tau,$$

она составляет доли процентов от величины, и в данном случае может не учитываться, так как она на два порядка меньше, чем порядок значащих цифр. Погрешность  $\sigma_\nu$  примем равной 0.5 кГц, так как деления на шкале спектрометра на экране не позволяют измерять с большей точностью.

Таким образом, можем построить график  $\Delta\nu(1/\tau)$ :



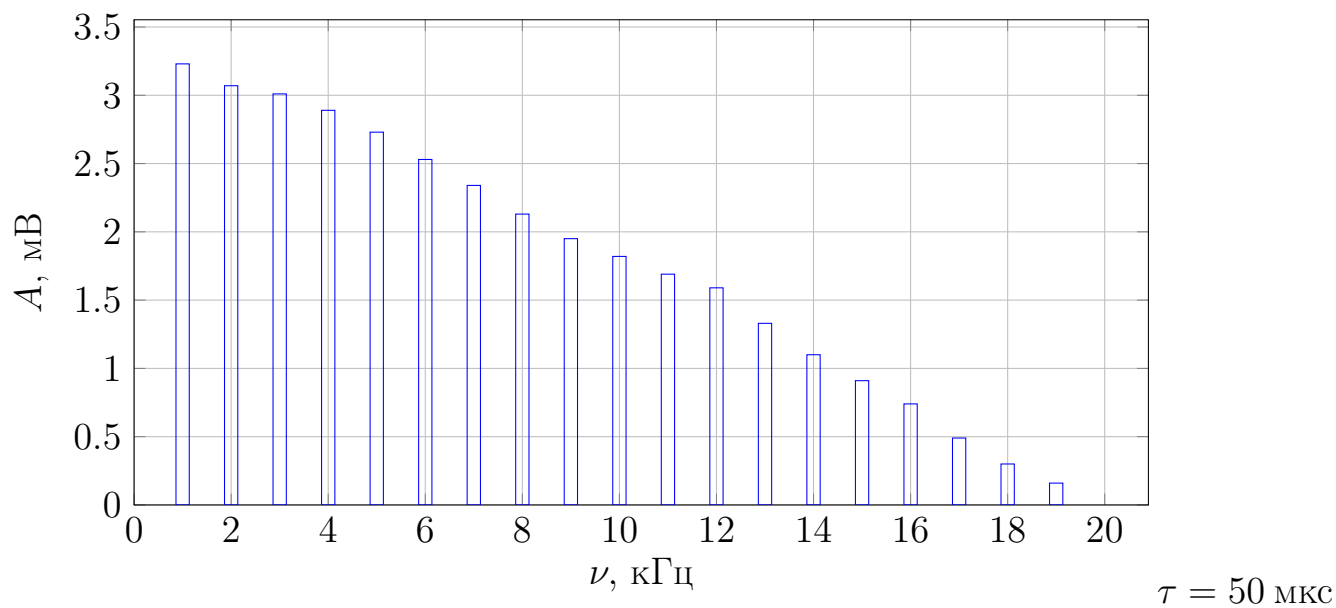
Из графика определим угол наклона:  $\frac{\Delta(\Delta\nu)}{\Delta(1/\tau)} = 1,0$ . Полученное значение совпадает с теоретическим, ожидаемым значением.

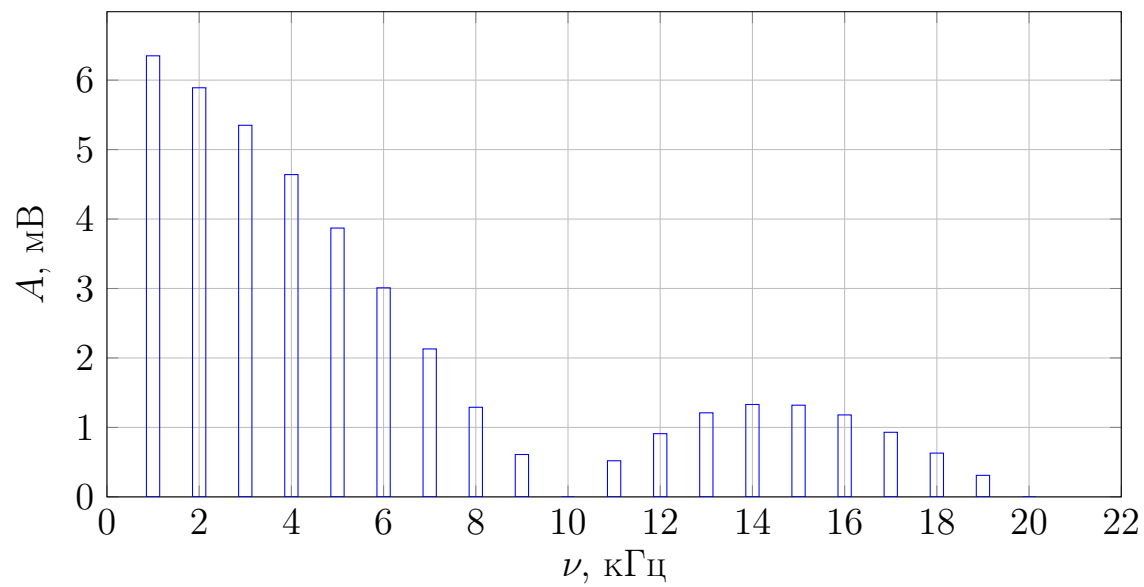


3. Снимем зависимость частот и амплитуд от номера гармоник для двух значений  $\tau$ :  $\tau = 50$  мкс и  $\tau = 100$  мкс:

$\tau = 50$ мкс			$\tau = 100$ мкс		
$N$	$\nu$ , кГц	$A$ , мВ	$N$	$\nu$ , кГц	$A$ , мВ
1	1	3,23	1	1	6,35
2	2	3,07	2	2	5,89
3	3	3,01	3	3	5,35
4	4	2,89	4	4	4,64
5	5	2,73	5	5	3,87
6	6	2,53	6	6	3,01
7	7	2,34	7	7	2,13
8	8	2,13	8	8	1,29
9	9	1,95	9	9	0,61
10	10	1,82	10	10	0,00
11	11	1,69	11	11	0,52
12	12	1,59	12	12	0,91
13	13	1,33	13	13	1,21
14	14	1,10	14	14	1,33
15	15	0,91	15	15	1,32
16	16	0,74	16	16	1,18
17	17	0,49	17	17	0,93
18	18	0,30	18	18	0,63
19	19	0,16	19	19	0,31
			20	20	0,00

По значениям восстановим графики, полученные на спектрографе:





$\tau = 100$  мкс

Здесь погрешности примем равными  $\sigma_A = 0.02$  мВ, так как в этих пределах колебались значения, снимаемые с экрана. Погрешность  $\sigma_\nu = 0.5$  кГц, так как сетка идет с шагом 1кГц.

## Б. Исследование спектра периодической последовательности цугов гармонических колебаний

### Экспериментальная установка.

Исследование спектра периодически чередующихся цугов гармонических колебаний проводится по схеме, изображённой на рис. 8. Генератор Гб-34 вырабатывает синусоидальные колебания высокой частоты. На вход АМ (амплитудная модуляция) генератора Гб-34 подаются прямоугольные импульсы с генератора Г5-54 и синусоида модулируется - «нарезается» на отдельные куски - цуги. Эти цуги с выхода генератора Гб-34 поступают на вход спектроанализатора и одновременно на вход У осциллографа. Сигнал синхронизации подаётся на вход Х осциллографа с генератора импульсов.

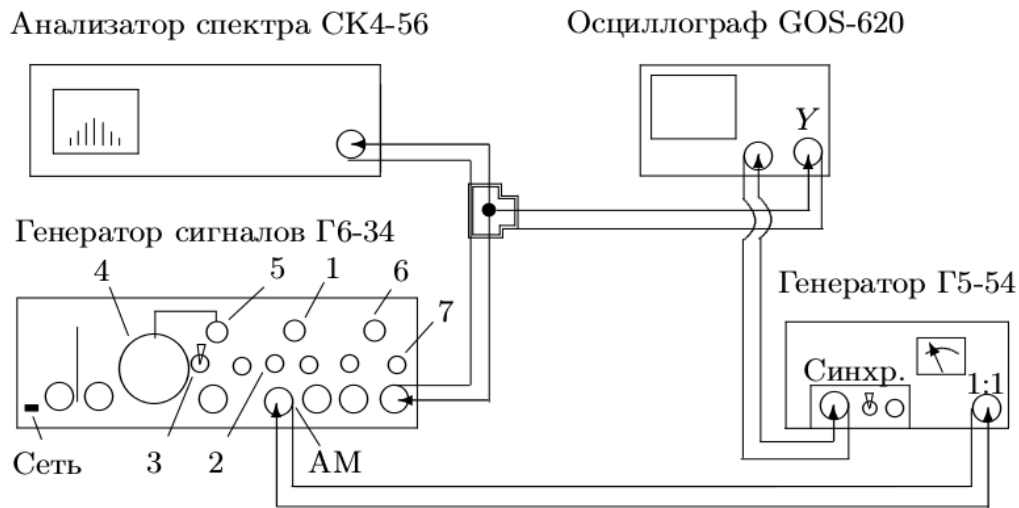


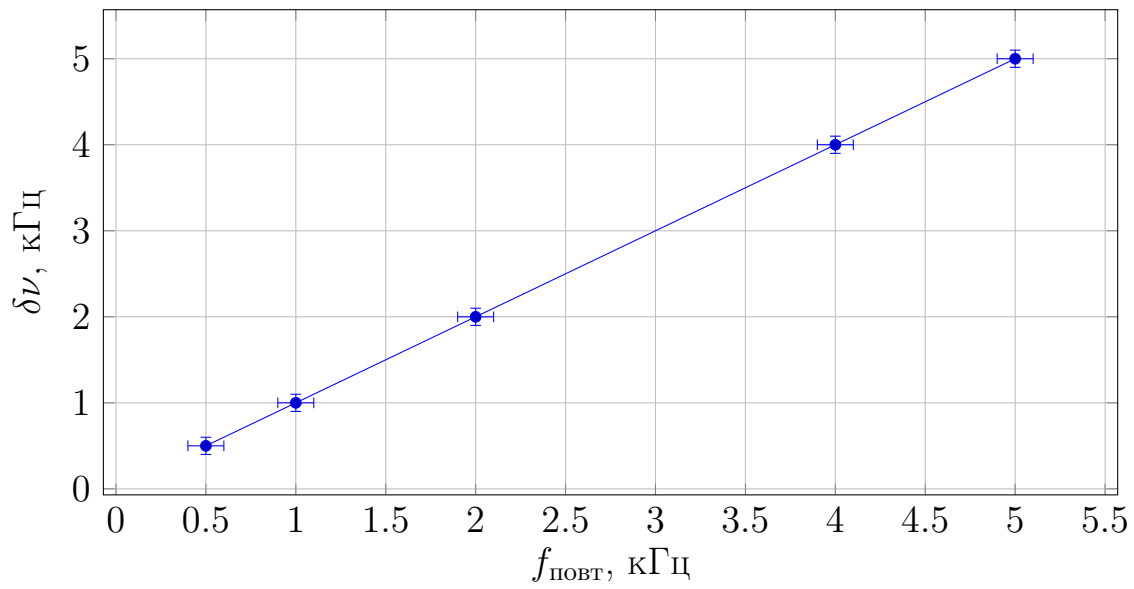
Рис. 8: Схема для исследования периодической последовательности цугов высокочастотных колебаний

### Ход работы:

1. Установим длительность импульсов равной  $\tau = 100$  мкс, затем  $\tau = 200$  мкс. При этом резко возрастает амплитуда сигнала, а  $\Delta\nu$  уменьшается с 10 до 5 кГц.
2. Установим длительность импульса  $\tau = 100$  мкс. Меняя несущую частоту  $\nu_0$ , увидим, что значениям 10, 25 и 40 кГц соответствуют максимумы амплитуд, достигающиеся на частотах 9, 24 и 39 кГц. При этом  $\Delta\nu$  остается примерно одной и той же.
3. Установим значение несущей частоты  $\nu_0 = 30$  кГц, длительность импульса  $\tau = 100$  мкс. Найдем  $\delta\nu$  для нескольких частот повторений  $f_{\text{повт}}$ :

$f_{\text{повт}}, \text{ кГц}$	0.5	1.0	2.0	4.0	5.0
$\delta\nu, \text{ кГц}$	0.5	1.0	2.0	4.0	5.0

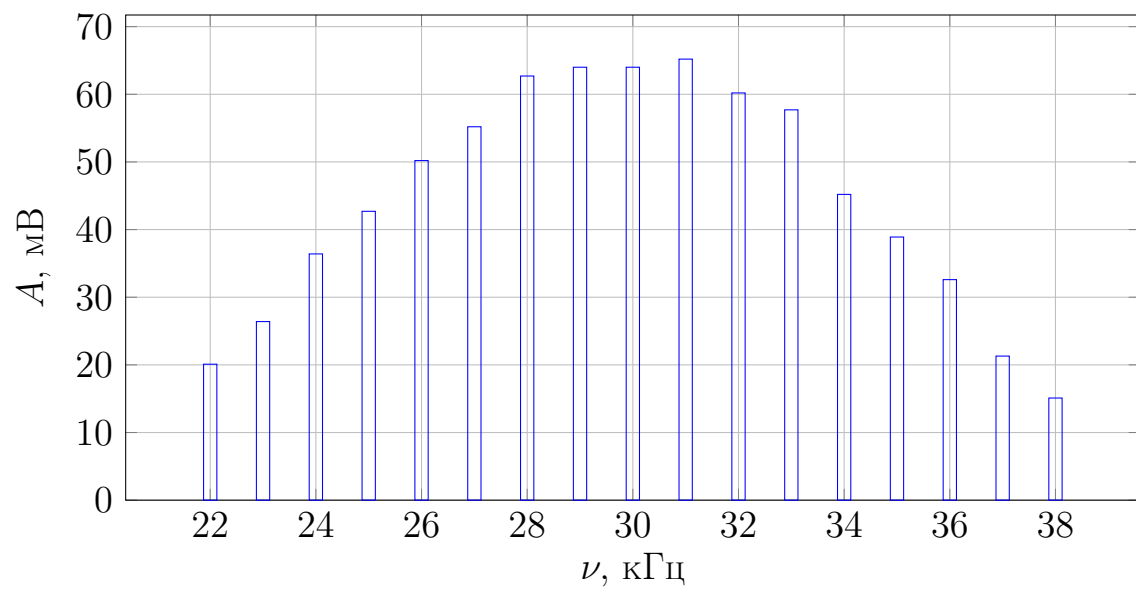
Погрешности  $\sigma_{\delta\nu}$  и  $\sigma_{f_{\text{повт}}}$  примем равными 0.1 кГц и 0.1 кГц соответственно. Построим график  $\delta\nu(f_{\text{повт}})$ :



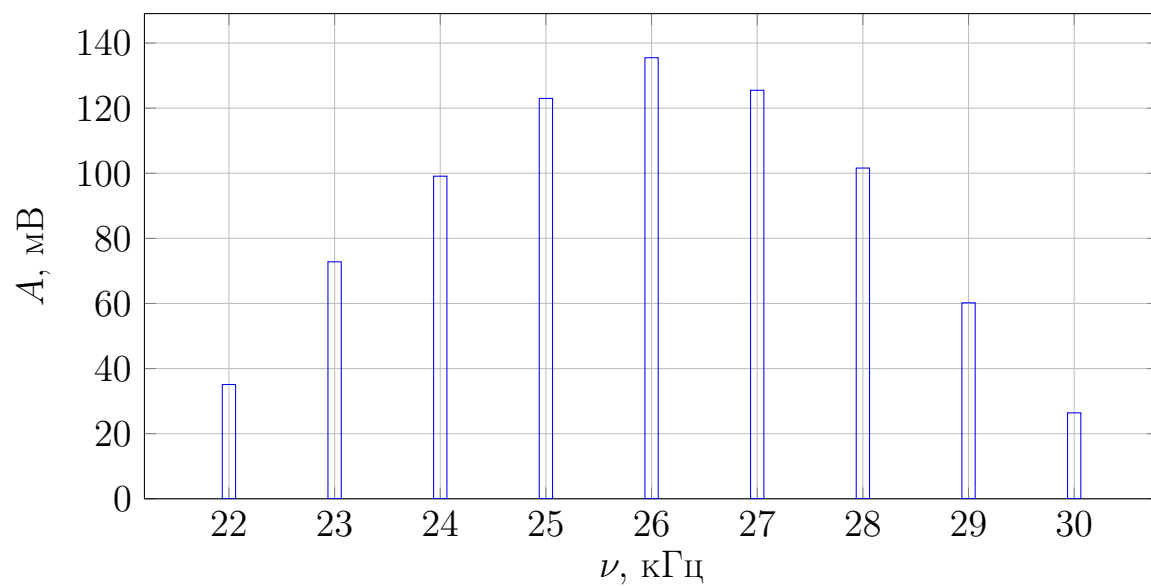
Установим  $\tau = 100$  мкс и снимем зависимость амплитуд и частот для различных гармоник для частот  $f_{\text{повт}} = 1$  кГц и  $f_{\text{повт}} = 2$  кГц:

$f_{\text{повт}} = 1 \text{ кГц}$			$f_{\text{повт}} = 2 \text{ кГц}$		
$N$	$\nu, \text{кГц}$	$A, \text{мВ}$	$N$	$\nu, \text{кГц}$	$A, \text{мВ}$
22	22	20,1	22	22	35,1
23	23	26,4	23	24	72,8
24	24	36,4	24	26	99,1
25	25	42,7	25	28	123,0
26	26	50,2	26	30	135,5
27	27	55,2	27	32	125,5
28	28	62,7	28	34	101,6
29	29	64,0	29	36	60,2
30	30	64,0	30	38	26,4
31	31	65,2			
32	32	60,2			
33	33	57,7			
34	34	45,2			
35	35	38,9			
36	36	32,6			
37	37	21,3			
38	38	15,1			

Восстановим графики, полученные на спектрометре:



$$f_{\text{повт}} = 1\kappa\Gamma_{\text{ц}}$$



$$f_{\text{повт}} = 2\kappa\Gamma_{\text{ц}}$$

СРАВНИТЬ ЧТО-ТО ТАМ

## В. Исследование спектра гармонических колебаний, модулированных по амплитуде

### Экспериментальная установка.

Схема для исследования амплитудно-модулированного сигнала представлена на рис. 9. Модуляционный генератор встроен в левую часть генератора сигналов Гб-34. Синусоидальный сигнал с частотой модуляции  $f_{\text{мод}} = 1$  кГц подаётся с модуляционного генератора на вход АМ (амплитудная модуляция) генератора, вырабатывающего синусоидальный сигнал высокой частоты (частота несущей  $\nu_0 = 25$  кГц). Амплитудно-модулированный сигнал с основного выхода генератора поступает на осциллограф и на анализатор спектра.



Рис. 9: Схема для исследования спектра высокочастотного гармонического сигнала, промодулированного по амплитуде низкочастотным гармоническим сигналом

### Ход работы:

Снимем зависимость  $A_{\text{max}}$ ,  $A_{\text{min}}$ ,  $A_{\text{осн}}$ ,  $A_{\text{бок}}$  от размаха сигнала  $A_0$ . Также определим глубину модуляции  $m$  по формуле

$$m = \frac{A_{\text{max}} - A_{\text{min}}}{A_{\text{max}} + A_{\text{min}}}$$

и найдем зависимость отношения  $A_{\text{бок}}/A_{\text{осн}}$ .

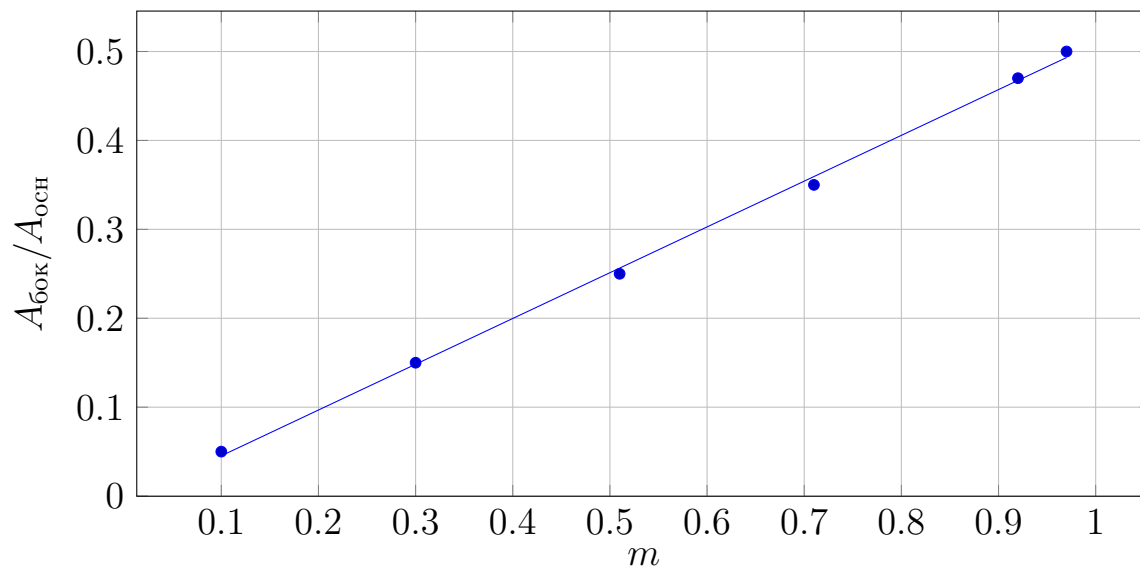
Погрешности амплитуд примем равными 0.2 мВ, так как в этих пределах колебались графики на экране. Погрешностью  $A_0$  на этом фоне можно пренебречь. Тогда из формул видно, что

$$\sigma_m = \langle m \rangle \cdot (\varepsilon_- + \varepsilon_+)$$

Данную погрешность можно не учитывать, так как она на несколько порядков меньше порядка значащих цифр  $m$ . Погрешностью отношения частот можно пренебречь по тем же причинам.

$A_0, \text{ В}$	$A_{max}, \text{ мВ}$	$A_{min}, \text{ мВ}$	$A_{\text{осн}}, \text{ мВ}$	$A_{\text{бок}}, \text{ мВ}$	$m$	$A_{\text{бок}}/A_{\text{осн}}$
0,2	545,8	443,0	323,1	15,7	0,10	0,05
0,6	643,7	350,1	323,1	48,9	0,30	0,15
1,0	741,6	242,2	323,1	80,9	0,51	0,25
1,4	849,5	144,3	323,7	114,2	0,71	0,35
1,8	944,8	41,5	320,6	149,3	0,92	0,47
2,0	981,9	15,8	313,7	165,2	0,97	0,50

Построим график  $A_{\text{бок}}/A_{\text{осн}}(m)$ :



Определим угловой коэффициент:  $\frac{\Delta(A_{\text{бок}}/A_{\text{осн}})}{\Delta m} = 0.5$ . Полученное значение совпадает с ожидаемым теоретическим, т.к. мы ожидали получить отношение, равное  $1/2$ .

Меняя частоту модуляции при  $m = 1$ , видим, что при увеличении частоты модуляции увеличивается  $\delta\nu$ .